文章编号:1000-4092(2023)04-571-07

一种环保非水基钻井液体系的构建及其性能评价*

刘雪婧^{1,2}, 耿 铁^{1,2}, 刘卫丽^{1,2}, 陈翔宇^{1,2}, 郭志娟^{1,2}

(1. 中海油田服务股份有限公司,河北廊坊065201;2. 中国海洋石油集团有限公司海上钻完井液与固井重点实验室,河北廊坊065201)

摘要:为满足日益严苛的环保要求,通过测试乳化剂、内相盐、基液等的生物毒性及降解性,研究植物油酸及其酯 类衍生物类乳化剂 BIO-EMUL与 BIO-COAT 复配乳化剂溶液与 BIO-OIL 形成的油包水乳液的电稳定性、乳化效 率以及BIO-EMUL与BIO-COAT复配乳化剂溶液与BIO-OIL间的界面张力和界面流变性,以BIO-EMUL和 BIO-COAT 为基础,结合基液 BIO-OIL 以及乙酸钠溶液,构建了一种环保非水基钻井液体系,并研究了该钻井液 的基本性能和抗污染能力。结果表明,BIO-EMUL、BIO-COAT能有效降低油/水界面张力,形成破乳电压达350 V, 乳化效率达95%的油包水乳液。该体系的LC50为28200 mg/L, BODs/CODcr > 0.25, 是生物毒性低, 降解性良 好的环境友好型油包水乳液。配制的钻井液体系适用密度范围广,抗污染能力强,为今后环保非基钻井液体系 及材料的研究提供了基础。

关键词:环保;降解;油包水乳液;非水基钻井液

文献标识码:A DOI: 10.19346/j.cnki.1000-4092.2023.04.001

开放科学(资源服务)标识码(OSID): 中图分类号: TE254

0 前言

随着我国社会经济的迅速发展以及环保要求 的提高,研究符合环境保护需求的钻井液体系成为 当前钻井液技术研究的重要方向之一[1-5]。最新的 环保法规中对钻井液的含油量、重金属含量和生物 毒性都大幅提高了要求,所有过储层段的水基钻井 液都不能排放[6-8],增加了作业成本,限制了水基钻 井液的使用规模及范围。非水基钻井液因其可重 复利用、抑制性强,润滑性好等特点[9-11],越来越受 到作业者青睐。但是,非水基钻井液也存在清理作 业系统、钻屑回收等环节,需要具有环境友好特性。

在化工材料的环保性指标中,生物毒性及降解 性是目前对钻井液及其处理剂环境可接受性评价 的两个主要指标[12-15],而业内对非水基钻井液体系 及材料的降解性及生物毒性评价鲜见报道[16-18]。目 前的非水基钻井液常选择环保性差的柴油、白油为 基液。较为环境友好的聚a-烯烃(PAO)类,线性a-烯烃(LAO),异构烯烃(IO)等基液不含芳香烃,毒 性小[19],但是高价格限制了其应用。内相盐常采用 价格低廉的氯化钙或氯化钠,其中的氯离子会造成 饮水苦咸味、土壤盐碱化、管道腐蚀、植物生长困难 等危害[20],并不是理想的内相盐。乳化剂是非水基 钻井液能否稳定的最关键因素,研究者多关注其乳 化稳定性,抗温性等特征,对环保性能研究不足。 因此,有必要研究一套满足环保要求的非水基钻井 液体系。

通过对比内相盐、基液、乳化剂的降解性及生 物毒性,发现植物油酸及其酯类衍生物乳化剂 BIO-EMUL 和 BIO-COAT、加 氢 合 成 的 基 液

^{*} 收稿日期:2022-11-07;修回日期:2022-12-28。

作者简介:刘雪婧(1981—),女,高级工程师,中国科学院成都有机化学研究所高分子化学与物理专业硕士(2009),从事油基钻井液体 系及材料的研究,通讯地址:300459天津市滨海新区海洋高新技术开发区海川路1581号中海油服油田化学研究院聚合物研 究室,电话:022-59552535,E-mail:ex_liuxj5@cosl.com.cn。

BIO-OIL、乙酸钠具有良好的降解性及生物毒性。研究发现,BIO-EMUL、BIO-COAT复配能有效降低油/水界面张力,乳液滴的弹性模量大于黏性模量[21]。因此,以植物油酸及其酯类衍生物类乳化剂 BIO-EMUL 和 BIO-COAT 为基础,结合基液 BIO-OIL 以及乙酸钠溶液,通过研究 BIO-EMUL 与 BIO-COAT复配乳化剂溶液与 BIO-OIL形成的油包水乳液的电稳定性、乳化效率以及 BIO-EMUL 与 BIO-COAT复配乳化剂溶液与 BIO-OIL间的界面张力和界面流变性,构建了一种环保非水基钻井液体系,并研究了该钻井液的基本性能和抗污染能力。

1 实验部分

1.1 材料与仪器

氯化钙、甲酸钠、乙酸钠,分析纯,国药集团化学试剂有限公司;合成基液BIO-OIL、3#白油,Saraline 185V油,主乳化剂BIO-EMUL、辅乳化剂BIO-COAT、乳化剂PF-FSEMUL、乳化剂PF-FSCOAT、润湿剂PF-FSWET、有机土PF-MOGEL、降滤失剂PF-MOHFR,碱度调节剂PF-MOALK,油基提切剂PF-MOVIS,重晶石,均取自天津中海油服化学有限公司。实验用水为蒸馏水。

WT-2000A型变频高速搅拌器,北京探矿工程研究所;BS 323S型电子天平,梅特勒-托利多仪器(上海)有限公司;TRACKER型高温高压界面张力仪,法国Teclis公司;173-00-1-RC型高温滚子炉、OFI800型六速旋转黏度计、170-00-4S-230型四联高温高压失水仪、BODTRAK II型BOD测定仪、DR1010型COD测定仪,美国OFTTE公司;23E型破乳电压仪,美国FANN公司。

1.2 实验方法

(1)生物毒性测试

按照标准GB 18420.1—2009《海洋石油勘探开发污染物生物毒性》第1部分:分级(1)和GBT 18420.2—2009《海洋石油勘探开发污染物生物毒性》第2部分:检验方法,测试BIO-EMUL、BIO-COAT、乙酸钠、BIO-OIL以及配制非水基钻井液体系的生物毒性。

(2)降解性测试方法

按照国家标准GB/T 21801—2008《呼吸法生物降解性》测试 BIO-EMUL、BIO-COAT、PF-FSE-

MUL、PF-FSCOAT、PF-FSWET、氯化钙、甲酸钠、乙酸钠、BIO-OIL、Saraline185V油、3#白油以及对应配制非水基钻井液体系的降解性。

(3)乳化效率测试

在280 mL的BIO-OIL基液中加入20 g/L的主乳化剂BIO-EMUL,再加入一定量(3~15 g/L)的辅乳化剂BIO-COAT,高速搅拌5 min;加入70 mL的质量分数为20%的乙酸钠溶液,高速搅拌20 min,装入老化罐中并于150℃下老化16 h;冷却后取出乳液高搅20 min,快速转移至250 mL的量筒中,记录不同时间分离出基液的体积。按式(1)计算乳化效率。

$$E = \frac{V_1 - V_2}{V_1} \times 100\% \tag{1}$$

式中,E一乳化效率,%; V_1 一倒入量筒中乳液的总体积,mL; V_2 一不同时间分离出基液的体积,mL。

(4)电稳定性测试

参照中国石油天然气行业标准SY/T 6615—2005 《钻井液用乳化剂评价程序》,测试乳液的破乳电压。

(5)界面张力及界面流变测试

利用TRACKER高温高压界面流变张力仪,分析水滴外形周期性的扩张和压缩的变化,测定界面扩张流变;给界面施加一定面积变化的振荡,记录瞬间形变后界面张力的衰减曲线,对衰减曲线进行拟合和Fourier转换,得到界面扩张流变参数。实验液体:外相为20g/L BIO-EMUL+15g/L BIO-COAT复配乳化剂溶液(以 BIO-OIL 为溶剂),内相为20%乙酸钠溶液。

2 结果与讨论

2.1 乳液及组分的降解性

普遍认为,生物耗氧量(BOD₅)与化学耗氧量(COD_{cr})比值为0.25是降解难易程度的分界线,代表了材料的降解性。测试了BIO-EMUL、BIO-COAT、PF-FSEMUL、PF-FSCOAT、PF-FSWET、氯化钙、甲酸钠、乙酸钠、3#白油、Saraline 185V油、BIO-OIL以及不同基液+20 g/L BIO-EMUL+15 g/L BIO-COAT+20%不同内相盐溶液配制乳液的BOD₅及COD_{cr},结果如表1所示。与其它乳化剂相比,BIO-EMUL、BIO-COAT属于较易降解材料,这可能是因为这两种乳化剂为植物油酸及其酯类衍生物,

表 1	隆解性数据

序号	代号	$BOD_5/(mg {\boldsymbol{\cdot}} L^{\scriptscriptstyle -1})$	$COD_{cr} / (mg \! \cdot \! L^{\scriptscriptstyle -1})$	$BOD_5/COD_{cr}\\$	生物降解性
1	BIO-EMUL	637 949	2 362 700	0.27	较易
2	BIO-COAT	1 072 000	2 528 400	0.42	较易
3	PF-FSEMUL	299 457	1 352 500	0.22	一般
4	PF-FSCOAT	166 192	1 038 700	0.16	一般
5	PF-FSWET	2 630	1 835 200	0.001	难
6	20%氯化钙	0	5 000	0	较难
7	20%甲酸钠	410	61 875	0.01	较难
8	20%乙酸钠	82 500	168 300	0.49	较易
9	BIO-OIL	278 000	437 000	0.64	较易
10	Saraline185V油	314 000	838 000	0.37	较易
11	3#白油	372 000	1 526 000	0.24	一般
12*	以氯化钙为内相的3#白油体系	177 000	1 411 000	0.13	较难
13*	以甲酸钠为内相的185V体系	208 000	1 333 667	0.16	一般
14*	以甲酸钠为内相BIO-OIL体系	244 000	1 428 500	0.17	一般
15*	以乙酸钠为内相BIO-OIL体系	328 000	1 266 500	0.26	较易

注:标*的样品配方为:240 mL基液+20 g/L BIO-EMUL+15 g/L BIO-COAT+60 mL内相盐溶液。

组成中不包含杂环、苯环等难降解成分。乙酸钠的降解性优于甲酸钠、氯化钙,因此选用乙酸钠溶液作为环保非水基钻井液的分散相。加氢合成的BIO-OIL的BOD₅/COD_c·值比Saraline185V油、3#白油更高,具有更好的降解性,这可能是因为BIO-OIL的支链烷烃多,降解更容易,因此可作为环保非水基钻井液的连续相。乳液体系的降解性实验表明,以氯化钙溶液为内相的3#白油乳液体系的降解性最差,以甲酸钠溶液为内相的乳液降解性能一般,以乙酸钠溶液+BIO-OIL配制的环保非水基钻井液乳液的BOD₅/COD_c·值为0.26,属于较易降解体系。

同时,为研究乳液体系降解性的决定性因素,考察了BIO-OIL,20%乙酸钠溶液及表1中15*配方乳液体系的BOD。随测试时间的变化,结果如图1所示。由图1可知,在1.25 d内,乙酸钠的BOD。最高,分解较快,但是BIO-OIL在1.5 d后的BOD。增加明显,分解速度加快,这可能是因为基液中长分子链分解成小分子的过程耗氧量较少,分解生成的小分子再分解时耗氧量明显增大。15*配方乳液体系的BOD。变化趋势与BIO-OIL的趋势一致,说明体系的降解速度主要由BIO-OIL决定。

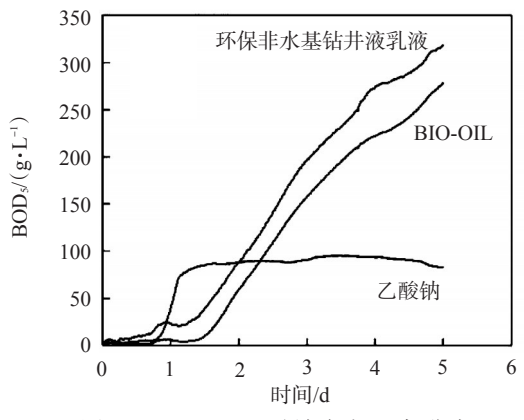


图1 BIO-OIL、乙酸钠溶液、环保非水基 钻井液乳液 BOD。随测试时间的变化

2.2 乳液及组分的生物毒性

生物毒性评价是评估钻井液体系对环境潜在污染和毒性危害的直接手段[14-15]。分别检测了BIO-EMUL、BIO-COAT、乙酸钠,BIO-OIL以及配制乳液的生物毒性,检测结果见表2。以孵化20~24h的卤虫幼体为实验对象,研究96h内造成50%受试生物死亡的样品浓度,即半数致死浓度LC50。LC50越大,说明生物耐受浓度越大,样品的环保性越好。由表2可见,构建的环保非水基钻井液乳液及

表2 环保非水基钻井液乳液组分及体系的生物毒性

材料	生物毒性/(mg·L ⁻¹)
BIO-OIL	664 300
BIO-EMUL	32 800
BIO-COAT	38 700
乙酸钠	134 400
环保非水基钻井液乳液	28 200

注:非水基钻井液在一级海域生物毒性容许值为15 000 mg/L。

组成材料都属于生物毒性合格范畴。

2.3 乳状液的稳定性

乳化效率是检测乳化剂能否形成稳定乳液最直接的方式。在油水比为80:20的条件下,固定主乳化剂BIO-EMUL加量为20g/L,考察了不同辅乳化剂BIO-COAT加量下乳液的乳化效率及电稳定性,结果见图2、图3。由图2、图3可见,BIO-EMUL单独作为乳化剂时,所生成乳液的乳化效率较低,破乳电压(ES)仅112 V,随着BIO-COAT加量的增

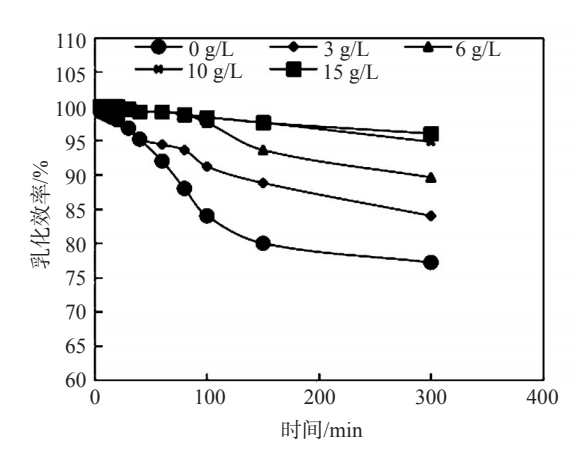


图2 不同BIO-COAT加量下乳液的乳化效率

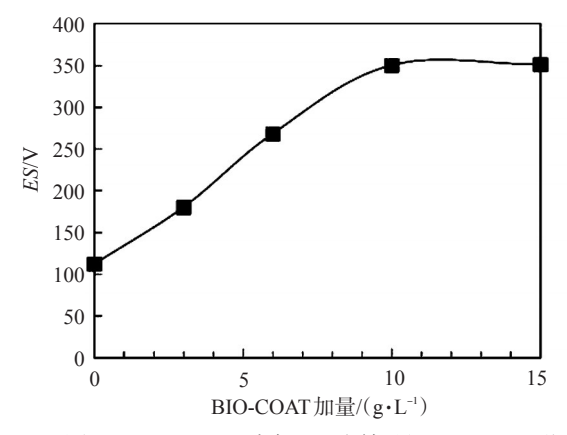


图 3 BIO-EMUL 中加入不同加量 BIO-COAT 形成 乳液的破乳电压

大,乳液的乳化效率增大,ES增至350 V左右,说明乳液稳定性增强。当BIO-COAT加量为15 g/L时,所生成的乳液静置300 min后的乳化效率大于95%,说明BIO-EMUL与BIO-COAT复配使用,共同吸附到油水界面,可形成稳定的乳液。

2.4 BIO-EMUL、BIO-COAT 在油/水界面吸附

界面分析是最直接反映表面活性剂分子界面吸附行为的有效手段^[22]。振荡频率对 20 g/L BIO-EMUL+15 g/L BIO-COAT 复配乳化剂溶液与BIO-OIL 的界面张力的影响如图 4 所示,对界面模量的影响如图 5 所示。由图 4 可见,随着振荡频率的减小,界面张力从 5.3 mN/m增至 6.6 mN/m。这可能是因为振荡频率较低时,表面活性剂分子在界面层的吸附量较多,界面张力较低;随着振荡频率的增大,表面活性剂分子不停地从体相向界面扩散,使得吸附-解吸附过程加快,造成界面张力有所下降。但是最高界面张力与最低界面张力的差值仅 1.3 mN/m,说明复配乳化剂能在高频干扰下保持

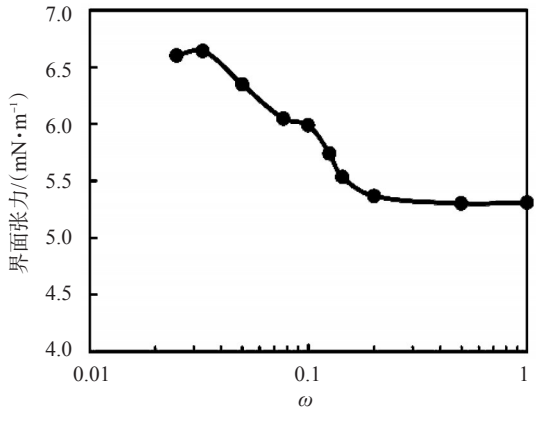


图4 振荡频率对界面张力影响(65℃)

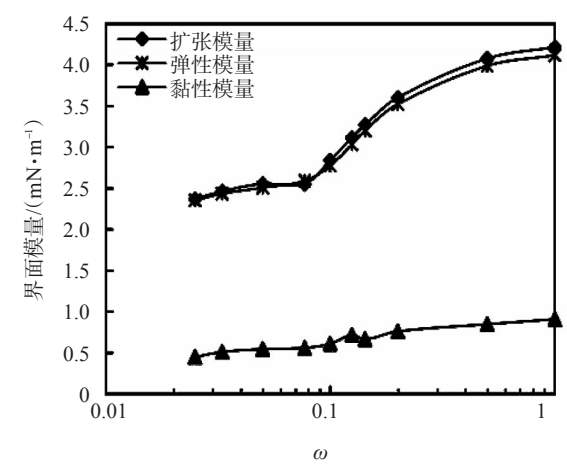


图 5 振荡频率对界面模量的影响(65 ℃)

较好的油水界面吸附能力,有利于乳液的稳定。由 图5可见,随着振荡频率的减小,复配体系的扩张模 量、弹性模量、黏性模量均呈上升趋势。这可能是 因为周期性振荡的增强,增强了分子运动,促进了 表面活性剂分子的碰撞,增强了分子间相互作用 力,表现出较强的界面模量。而且,弹性模量与扩 张模量几乎重合,说明形成的界面膜以弹性为主。

2.5 钻井液体系性能

以BIO-EMUL为主乳化剂,BIO-COAT为辅乳 化剂、BIO-OIL为基液,乙酸钠为内相溶液,构建了 基础配方为: 280 mL BIO-OIL+20 g/L BIO-EMUL+ 15 g/L BIO-COAT + 25 g/L PF-MOALK + 30 g/L PF-MOGEL+70 mL 质量分数为20%的乙酸钠溶液+ 30 g/L PF-MOHFR+5 g/L PF-MOVIS的环保非水基 钻井液,以下研究该体系的基本性能及抗污染能力。

2.5.1 密度、老化温度对钻井液性能影响

利用重晶石对钻井液的密度进行调节,评价不 同密度条件下体系的综合性能,结果见表3。由表3 可见,构建的环保非水基钻井液在120~180℃范围 内具有较好的稳定性,密度为1.8 g/cm3时,钻井液体 系破乳电压在1000 V以上,体系具有良好的流变性

及高温高压滤失量。但是当老化温度高于200℃ 后,钻井液的黏度明显增加,高温高压滤失量变 大。这可能是因为BIO-EMUL与BIO-COAT属于 脂肪酸及其酯类衍生物表面活性剂,高温造成了表 面活性剂的降解及油/水界面的解吸附。

2.5.2 油水比对钻井液性能影响

在明确BIO-EMUL、BIO-COAT、BIO-OIL、乙酸 钠溶液能构建环保非水基钻井液基础上,考察油水 比对钻井液(密度为1.5 g/cm³,150 ℃下滚动老化 16 h)性能的影响,实验结果如表4所示。由表4可 见,随着油水比的增大,钻井液的黏度下降,破乳电 压上升。这可能是因为随着分散相的减少,乳化液 滴粒径变小,内摩擦减少,导致黏度下降。在相同 乳化剂加量时,分散相的减少造成体系中游离乳化 剂以及油/水界面吸附乳化剂增多,破乳电压上升。 另外,也说明该体系具有70:30~90:10较宽油水比 适用范围。

2.5.3 污染对钻井液性能影响

采用现场钻屑(过100目筛)和模拟海水对构建 的环保非水基钻井液进行抗污染性评价,实验结果 见表5。从表5可以看出,随着钻屑污染量的增加,

老化温度/℃	密度/ (g•cm ⁻³)	Φ600/Φ300	Φ200/Φ100	Φ6/Φ3	Gel/Pa 10 s/10 min	PV/ (mPa·s)	<i>YP</i> /Pa	FL(HTHP)/ mL	ES/V
100	1.5	32/20	15/11	4/4	2/4	12	4.0	0.2	562
120	1.5	32/18	14/9	4/3	2/4	14	2.0	2.0	803
150	1.5	31/18	14/9	4/3	2/4	13	2.5	3.6	672
180	1.8	36/22	17/11	5/4	2/5	14	4.2	3.2	1077
200	1.8	51/34	28/21	14/13	8/14	17	8.5	8.0	420

表3 密度、温度对钻井液性能的影响

注: ϕ 600 \sim ϕ 3—转速为600 \sim 3 r/min 时旋转黏度计的读数;Gel—静切力;PV—塑性黏度;YP—动切力;FL(HTHP)—高温高压滤失 量。流变测定温度为65 ℃。老化温度低于150 ℃时,高温高压滤失量测试条件:老化温度×3.5 MPa,30 min;老化温度高于176 ℃时,高温 高压滤失量测试条件:176 ℃×3.5 MPa,30 min。后同。

表 4 油水比对钻井液性能的影响

油水比	条件	Φ600/Φ300	Φ200/Φ100	Φ 6/ Φ 3	Gel/Pa 10 s/10 min	PV/ (mPa·s)	YP/Pa	FL(HTHP)/ mL	ES/V
60:40	老化后	111/68	50/32	10/8	4.0/10.0	43.0	12.5	4.6	274
65:35	老化后	83/51	38/23	8/6	3.5/8.5	32.0	9.5	3.8	297
70:30	老化后	64/38	29/18	5/4	2.5/6.0	26.0	6.0	2.0	422
75:25	老化后	49/29	21/14	5/4	1.6/6.0	20.0	4.5	1.8	436
80:20	老化后	45/26	20/12	5/4	2.0/6.0	19.0	3.5	1.6	525
85:15	老化后	44/27	21/13	5/4	3.0/6.5	17.0	5.0	2.0	739
90:10	老化后	36/22	17/11	5/4	3.0/6.0	14.0	4.0	1.8	933

表 5	污染对钻井液性能的影响
AK J	

运 洗酒	污染量/	☆ 派々/4	#C00/#200	#200/#100	Ф6/Ф3 -	Gel/Pa	PV/	<i>YP</i> /Pa	FL(HTHP)/ mL	ECAI
污染源	$(g \cdot L^{-1})$	实验条件	$\Phi600/\Phi300$	$\Phi 200/\Phi 100$		10 s/10 min	(mPa·s)			ES/V
空白	0	老化前	41/25	17/12	4/3	2.5/4.5	16	4.5		680
2日	U	老化后	38/24	18/11	4/3	2.5/5.0	14	5.0	3.0	662
	50	老化前	38/22	17/11	4/3	2.5/4.5	16	3.0		711
	30	老化后	40/23	18/11	4/3	2.0/4.5	17	3.0	2.8	724
加払針豆	100	老化前	43/25	19/12	5/4	2.5/5.0	18	3.5		638
现场钻屑	100	老化后	42/24	18/11	3/3	1.5/5.0	18	3.0	4.6	623
	150	老化前	46/28	21/14	5/4	3.0/5.0	18	5.0		565
		老化后	45/26	18/12	3/3	2.0/5.0	19	3.5	6.0	540
	50	老化前	43/26	19/13	5/4	2.5/4.5	17	4.5		599
	50	老化后	43/26	20/14	5/5	3.0/5.0	17	4.5	3.6	610
## 1017年 TV	100	老化前	45/28	20/14	5/4	3.0/4.5	17	5.5		527
模拟海水	100	老化后	48/30	21/14	5/5	5/5 3.5/5.0	18	6.0	4.2	530
	150	老化前	50/31	23/15	5/4	3.0/4.5	19	6.0		539
	150	老化后	50/31	23/16	5/4	3.0/4.5	19	6.0	4.8	440

体系的黏度变化幅度不大,动切力几乎无变化,说明体系抗钻屑污染能力很强。随着模拟海水的加入,钻井液黏度上升,破乳电压下降,加入150 g/L的海水后钻井液的破乳电压降至440 V,但是高温高压滤失量仍然低于5 mL,说明钻井液仍然是乳化稳定体系,抗海水污染能力强。

3 结论

以植物油酸及其酯类衍生物 BIO-EMUL、BIO-COAT为乳化剂,以BIO-OIL为基液,乙酸钠为内相盐溶液,构建了环保非水基钻井液乳液,该体系生物毒性 LC50为 28 200 mg/L,BOD5/CODc分0.26,属于环保易降解体系。

BIO-EMUL和BIO-COAT形成乳液的乳化效率高,电稳定性良好。油/水界面上周期性振荡的增强,增强了分子运动,促进表面活性剂分子的碰撞,液滴表现出较强的界面模量。弹性模量与扩张模量几乎重合,说明形成的界面膜以弹性为主,证明了BIO-EMUL和BIO-COAT能形成稳定油包水乳液。

构建的环保非水基钻井液,适用油/水比范围宽,抗污染能力强,抗温达180 ℃,可用于环保要求严格的作业区域。但是难以应对温度高于180 ℃井

的作业需求,因此,仍需继续研究抗温性更强的环保乳化剂来满足作业需求。

参考文献:

- [1] 刘选, 张永强. 钻井泥浆和钻屑对海洋环境的影响及管理对策研究[J]. 海洋开发与管理,2014,31(10):71-77.
- [2] 卢芳. 胜利埕岛油田海洋石油勘探开发生态环境影响研究 [D]. 青岛: 中国海洋大学, 2010.
- [3] 马媛,高振会,杨应斌,等.海上石油开采导致生态环境变化 实例研究[J].海洋学报(中文版),2005,5:54-59.
- [4] TRANNUM H C, NILSSON H C, SCHAANNING M, et al. Effects of sedimentation from water-based drill cuttings and natural sediment on benthic macrofaunal community structure and ecosystem processes [J]. J Exp Mar Biol Ecol, 2010, 383 (2): 111-121.
- [5] 王蓉沙, 邓皓, 谢水祥, 等. 油气田废弃钻井液对生态环境的 影响评价研究[J]. 石油天然气学报, 2009, 31(2): 152-156.
- [6] 全国海洋标准化技术委员会. 海洋石油勘探开发污染物排放浓度限值: GB 4914—2008[S].北京:中国标准出版社, 2009
- [7] 全国海洋标准化技术委员会.海洋石油勘探开发污染物生物毒性第1部分分级: GB 18420.1—2009 [S]. 北京:中国标准出版社, 2009.
- [8] 全国海洋标准化技术委员会.海洋石油勘探开发污染物生物毒性第2部分检验方法: GB 18420.2—2009 [S]. 北京:中国标准出版社,2009.

- [9] 王中华. 国内外油基钻井液研究与应用进展[J]. 断块油气田, 2011, 18(4): 533-537.
- [10] 徐同台,彭芳芳,潘小镛,等. 气制油的性质与气制油钻井液 [J]. 钻井液与完井液. 2010, 27(5): 75-78.
- [11] 沈丽, 王宝田, 宫新军, 等. 气制油合成基钻井液流变性能影响评价[J]. 石油与天然气化工, 2013, 42(1): 53-57.
- [12] 许毓, 邓皓, 孟国维, 等. 钻井液环保性能评价与分析方法研究[J]. 油气田环境保护, 2007, 17(1): 43-46.
- [13] 盖国忠, 李科. 钻井液环境可接受性评价及环保钻井液[J]. 西部探矿工程, 2009, (2): 57-60.
- [14] 黄晓东. 国外钻井液毒性检测方法述评[J]. 石油钻探技术, 1995, 23(4): 55-56.
- [15] 张聪, 陈聚法, 赵俊, 等. 乍得油区环保钻井液的水生生态毒性评价[J]. 渔业科学进展, 2011, 32(6): 128-134.
- [16] 刘雪婧, 耿铁, 赵春花, 等. 乙酸钠为内相的合成基钻井液体

- 系研究[J]. 精细石油化工, 2018, 35(6): 32-36.
- [17] 解宇宁. 低毒环保型油基钻井液体系室内研究[J]. 石油钻探技术, 2017, 45(1): 45-50.
- [18] 赵景芳, 刘雪婧, 耿铁. BIO-OIL环保基液的研制与现场试验 [J]. 石油钻探技术, 2019, 47(3): 75-81.
- [19] 王先兵,李维,杨欢,等.环保钻井液发展现状及展望[J].油 气田环境保护,2019, 29(1): 9-13.
- [20] 刘波, 薛然明, 王海宝. 低 Cl环保钻井液技术研究[J]. 化工管理, 2016(3): 148.
- [21] 刘雪婧. 油基钻井液用乳化剂油/水界面吸附及对乳液结构的 影响[J]. 油田化学, 2020, 37(4):578-591.
- [22] HUANG Y P, ZHANG L, LUO L, er al. Dynamic interfacial dilational properties of hydroxyl-substituted alkyl benzenesulfonates [J]. J Phys Chem B, 2007, 111(20): 5640–5647.

Preparation and Performance Evaluation of an Environmental Protection Non-water Based Drilling Fluid System

LIU Xuejing^{1, 2}, GENG Tie^{1, 2}, LIU Weili^{1, 2}, CHEN Xiangyu^{1, 2}, GUO Zhijuan^{1, 2}

(1. China Oilfield Services Limited, Langfang, Hebei 065201, PR of China; 2. CNOOC Key Laboratory of Offshore Drilling Fluids and Cementing, Langfang, Hebei 065201, PR of China)

Abstract: In order to satisfy the increasingly stringent requirements for environmental protection, the biological toxicity and degradability of several emulsifiers, internal phase salts and base fluids were tested, and then an environment-friendly non-water-based drilling fluid system was constructed on the basis of plant oleic acid and its ester derivative BIO-EMUL and BIO-COAT, combining with base fluid BIO-OIL and sodium acetate solution by measuring the electrical stability, emulsifying efficiency of water-in oil emulsion and oil/water interfacial tension, interfacial rheology between BIO-EMUL+BIO-COAT solutions and BIO-OIL. The fundamental performance and anti-contamination ability of the drilling fluid was evaluation. The results showed that BIO-EMUL and BIO-COAT could effectively reduce the interfacial tension of oil/water and form water-in-oil emulsions with demulsification voltage up to 350 V and emulsifying efficiency up to 95%. The LC₅₀ of the water-in-oil emulsion system was about 28 200 mg/L, and the BOD₅/COD_{Cr} was greater than 0.25, indicating that it was an environment-friendly system with low biological toxicity and good degradability. The prepared drilling fluid system had a wide range of applicable density and strong anti-contamination ability, which provided a foundation for the future study of environmental protection non-water-based drilling fluid system and materials.

Keywords: environmental protection; degradation; water-in-oil emulsion; non-water based drilling fluid